

# Содержание

<b>ВВЕДЕНИЕ . . . . .</b>	<b>6</b>
<b>1 Аналитический раздел . . . . .</b>	<b>7</b>
1.1 Описание объектов сцены . . . . .	7
1.2 LiDAR . . . . .	7
1.2.1 Шаблоны сканирования . . . . .	7
1.3 Способы описания моделей . . . . .	8
1.3.1 Каркасная модель . . . . .	8
1.3.2 Поверхностная модель . . . . .	8
1.3.3 Объемная модель . . . . .	9
1.3.4 Выбор модели . . . . .	9
1.4 Способы задания объектов . . . . .	9
1.5 Анализ алгоритмов удаления невидимых линий и поверхностей .	9
1.5.1 Алгоритм Робертса . . . . .	10
1.5.2 Алгоритм художника . . . . .	10
1.5.3 Алгоритм Z-буфера . . . . .	10
1.5.4 Алгоритм трассировки лучей . . . . .	11
1.5.5 Выбор алгоритма . . . . .	11
<b>2 Конструкторский раздел . . . . .</b>	<b>12</b>
2.1 Требования к программному обеспечению . . . . .	12
2.2 Алгоритм трассировки лучей . . . . .	13
2.3 Типы данных . . . . .	14
<b>3 Технологический раздел . . . . .</b>	<b>15</b>
3.1 Выбор средств реализации . . . . .	15

3.2 Структура программы . . . . .	15
3.3 Детали реализации . . . . .	16
3.4 Интерфейс программы . . . . .	19
3.5 Демонстрация работы . . . . .	21
<b>4 Исследовательский раздел . . . . .</b>	<b>22</b>
4.1 Технические характеристики . . . . .	22
4.2 Описание исследования . . . . .	22
<b>ЗАКЛЮЧЕНИЕ . . . . .</b>	<b>28</b>
<b>СПИСОК ИСПОЛЬЗОВАННЫХ ИСТОЧНИКОВ . . . . .</b>	<b>29</b>
<b>Приложение А . . . . .</b>	<b>30</b>

# ВВЕДЕНИЕ

В современном мире технологии играют важную роль в различных сферах деятельности человека. Одной из таких технологий является LiDAR (Light Detection and Ranging), которая активно применяется в разных областях, например, в метеорологии, геодезии, картографии, автомобильной промышленности, робототехнике, в системах машинного зрения и других областях.

**Цель курсовой работы** — разработка программного обеспечения для симуляции LiDAR и построение 3D-карты сцены. Для достижения поставленной цели необходимо выполнить следующие задачи:

- 1) описать объекты и выбрать модель их представления;
- 2) изучить и провести анализ существующих алгоритмов компьютерной графики;
- 3) выбрать наиболее подходящие алгоритмы для реализации программы;
- 4) спроектировать программное обеспечение, предоставляющее пользователю необходимые функции;
- 5) реализовать спроектированное программное обеспечение;
- 6) провести сравнительный анализ времени построения кадра в зависимости от удаления объекта сцены от камеры.

# 1 Аналитический раздел

## 1.1 Описание объектов сцены

Сцена состоит из следующих объектов:

- 1) камера — объект сцены, из которого происходит наблюдение сцены, определяется местоположением и направлением просмотра;
- 2) источник света — объект сцены, который представляет из себя материальную точку, излучающую свет;
- 3) модель — трёхмерный объект, расположенный на сцене, представленный в виде полигональной сетки;
- 4) облако точек — набор векторов вида  $(x, y, z)$ .

## 1.2 LiDAR

LiDAR (Light Detection and Ranging) — это технология, которая использует лазерное излучение для обнаружения и определения дальности до объектов. Она применяется в разных областях, например, в метеорологии, геодезии, картографии и в системах машинного зрения.

Технология основана на принципе измерения времени прохождения лазерного импульса (ToF — Time of Flight). Лазерный излучатель генерирует короткие световые импульсы в инфракрасном или видимом диапазоне. Отражённые импульсы фиксируются датчиком, который измеряет время их возврата. Вычислительный модуль обрабатывает собранные данные и преобразует их в цифровую информацию.

Лидар работает с высокой частотой, испуская тысячи импульсов в секунду. Результаты объединяются в облака точек, представляющие собой трёхмерную модель.

В системах машинного зрения LiDAR используется для создания двумерных или трёхмерных изображений окружающего пространства.

### 1.2.1 Шаблоны сканирования

Чтобы собрать как можно больше данных, в LiDAR устанавливаются системы вращающихся зеркал, чтобы собрать как можно больше данных, не изменяя положения. Различные алгоритмы, по которым вращаются зеркала, об-

разуют различные шаблоны (паттерны) сканирования — то, как движется луч при сканировании. Распространены следующие шаблоны сканирования:

- вертикальные полосы — сканирование происходит вертикально, от основания объекта до его вершины;
- горизонтальные полосы — сканирование происходит горизонтально, слева направо или справа налево;
- сетка — совмещение двух предыдущих шаблонов образует сканирование в виде сетки;
- с интервалом — сканирование происходит с определёнными интервалами.

### **1.3 Способы описания моделей**

Модель является отображением формы и размеров объектов. Основное назначение модели - правильно отображать форму и модели объекта.

В основном используются 3 вида модели [1, 3]:

- 1) каркасная (проволочная);
- 2) поверхностная;
- 3) объемная.

#### **1.3.1 Каркасная модель**

В этой модели задается информация о вершинах и рёбрах объектов. Этим видам модели присущ один, но весьма существенный недостаток: не всегда модель правильно передает представление об объекте.

#### **1.3.2 Поверхностная модель**

Поверхность может описываться аналитически, либо может задаваться другим способом. Сложные криволинейные поверхности можно представлять в упрощенном виде, например, с помощью полигональной аппроксимации. В этом случае такая поверхность будет задаваться в виде поверхности многогранника.

Недостаток: отсутствует информация о том, с какой стороны поверхности находится собственный материал, а с какой стороны - пустота.

### **1.3.3 Объемная модель**

Отличие от поверхностной модели состоит только в том, что в объемных модели к информации о поверхности добавляется информация о том, где расположен материал. Проще всего это можно сделать путём указания направления внутренней нормали.

### **1.3.4 Выбор модели**

Т.к. LiDAR сканирует поверхности объектов, то каркасная модель не подходит из-за отсутствия поверхностей. Объёмная модель отличается от поверхностной наличием информации о нахождении материала, что не влияет на сканирование, поэтому не имеет значения для данной задачи. Поэтому в результате выбора модели была выбрана поверхностная модель.

## **1.4 Способы задания объектов**

Способы задания поверхностных моделей [1, 2]:

- аналитический — описание поверхности с помощью математических уравнений;
- полигональный — описания с использованием следующих элементов: вершины, отрезки прямых (векторы), полилинии, полигоны, полигональные поверхности;

Аналитический способ задания объекта ограничен невозможностью описывать произвольные объекты, что делает его неподходящим для решения задачи. Поэтому в результате был выбран полигональный способ задания объектов.

## **1.5 Анализ алгоритмов удаления невидимых линий и поверхностей**

Задача удаления невидимых линий и поверхностей является одной из наиболее сложных в машинной графике. Алгоритмы удаления невидимых линий и поверхностей служат для определения линий ребер, поверхностей или объемов, которые видимы или невидимы для наблюдателя, находящегося в заданной точке пространства [1].

### **1.5.1 Алгоритм Робертса**

Алгоритм Робертса — алгоритм, разработанный для удаления рёбер и граней, которые скрываются другими объектами. Алгоритм работает в пространстве объекта и сравнивает взаимное расположение поверхностей каждого тела.

### **1.5.2 Алгоритм художника**

Алгоритм художника — алгоритм решения проблемы «видимости» в компьютерной графике. Он позволяет избежать дополнительных затрат памяти, изначально сортируя по расстоянию от точки обзора. Затем объекты проверяются в порядке глубины, начиная с самого дальнего. В этом случае при рассмотрении объекта нет необходимости проверять его z-координату, так как цвет записывается в буфер кадра. Значения, хранящиеся в буфере ранее, перезаписываются.

### **1.5.3 Алгоритм Z-буфера**

Алгоритм z-буфера — это метод удаления невидимых частей объектов в трёхмерной сцене. В нём используется два буфера: буфер кадра и z-буфер. В буфере кадра хранится информация о цвете объекта для каждого пикселя, а в z-буфере — z-координата видимого объекта. Алгоритм с использованием Z-буффера по шагам:

- 1) заполнить буфер кадра фоновым цветом.
- 2) заполнить z-буфер минимальным значением z (определяет самую удалённую границу сцены).
- 3) обработать каждый многоугольник в сцене: преобразовать его в растровую форму и вычислить глубину z для каждого пикселя.
- 4) сравнить глубину каждого пикселя с z-буфером: если z больше, чем в z-буфере, записать атрибуты цвета многоугольника в буфер кадра и обновить z-буфер. Если сравнение даёт противоположный результат, ничего не делать.

#### **1.5.4 Алгоритм трассировки лучей**

Алгоритм трассировки лучей предполагает отслеживание лучей света в обратном направлении, от наблюдателя к объекту. Каждый луч проходит через пиксель раstra до сцены. Траектория каждого луча отслеживается, чтобы определить, какие именно объекты сцены, если таковые существуют, пересекаются с данным лучом. Необходимо проверить пересечение каждого объекта сцены с каждым лучом. Пересечение с ближайшим объектом представляет видимую поверхность для данного пикселя.

#### **1.5.5 Выбор алгоритма**

LiDAR работает на основе отражения лазерных импульсов от объектов, поэтому для решения задачи симуляции LiDAR был выбран алгоритм трассировки лучей, т.к. он моделирует распространение лучей в пространстве и их взаимодействие с поверхностями объектов.

## **2 Конструкторский раздел**

### **2.1 Требования к программному обеспечению**

Разрабатываемое программное обеспечение должно предоставлять пользователю следующие возможности:

- добавление объекта на сцену (куб, четырехугольная пирамида, тетраэдр, шестиугольная призма);
- удаление объектов со сцены;
- изменение свойств выбранного объекта (положение в пространстве, поворот);
- выбор камеры;
- задание шаблона и параметра сканирования;
- задание сценария сканирования;
- добавление и удаление облаков точек;
- перемещение и поворот камеры с помощью клавиатуры.

При этом разрабатываемая программа должна удовлетворять следующему требованию:

- наличие визуализации облака точек.

## 2.2 Алгоритм трассировки лучей

На рисунке 2.1 представлена схема алгоритма трассировки лучей.

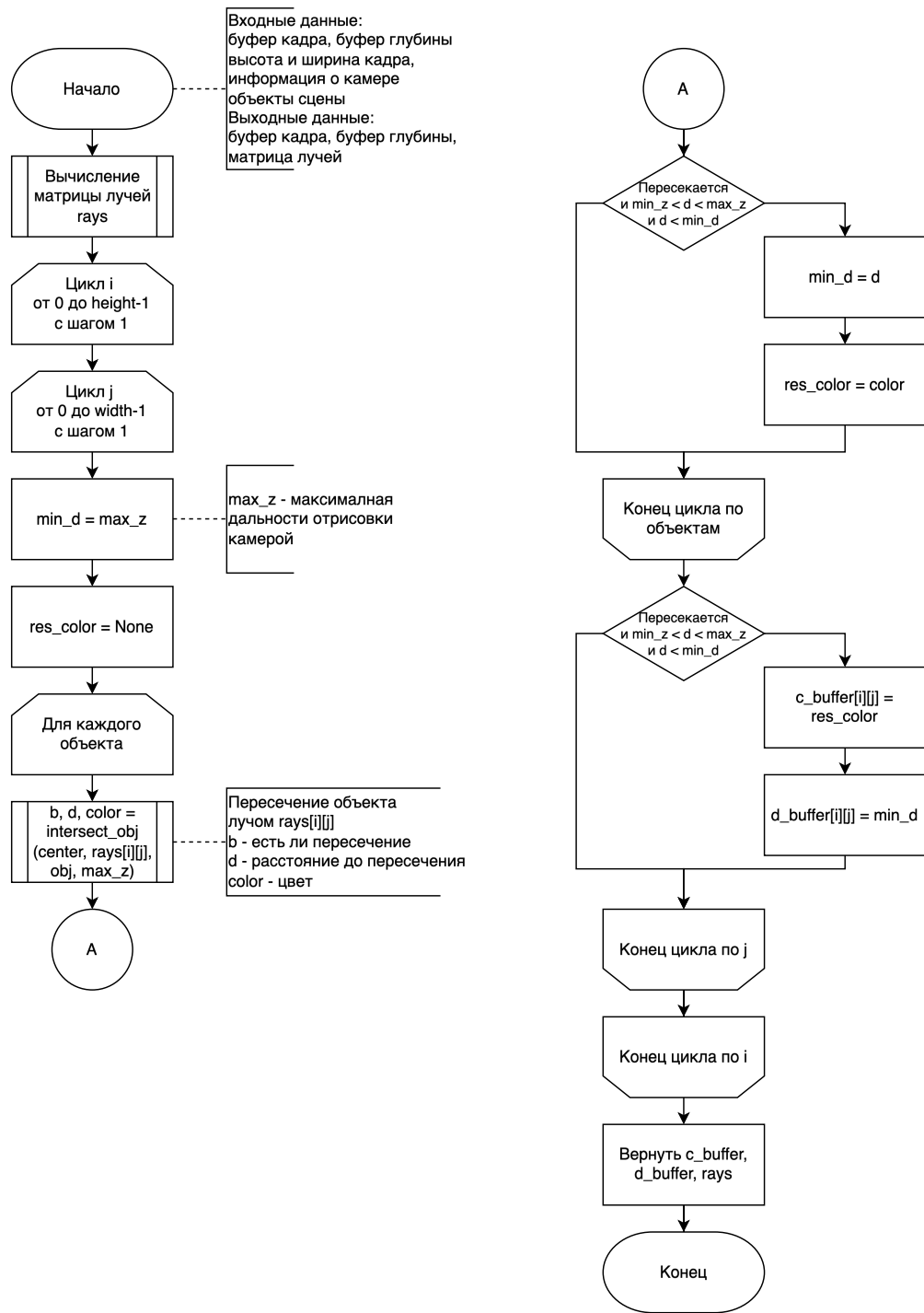


Рисунок 2.1 — Схема алгоритма трассировки лучей

## 2.3 Типы данных

В таблице 2.1 представлены структуры данных и их поля.

Таблица 2.1 — Выбор структур данных для представления объектов

Объект	Представление
Сцена	Объект Scene: — objs — массив объектов сцены; — point_clouds — массив облаков точек.
Объект	Объект MeshModel: — points — массив точек; — triangles — массив треугольников; — name — наименование объекта (в таблице объектов).
Облако точек	Объект PointCloud: — points — массив точек.
Камера	Объект Camera: — center — центр камеры; — h_dir — горизонтальный вектор задания направления камеры; — v_dir — вертикальный вектор задания направления камеры; — h_fov — угол обзора по горизонтали; — v_fov — угол обзора по вертикали; — min_z — минимальная дальность отрисовки; — max_z — максимальная дальность отрисовки.
Полотно	Объект Canvas — width — ширина полотна; — height — высота полотна.

### 3 Технологический раздел

#### 3.1 Выбор средств реализации

В качестве используемого языка программирования был выбран *Python* [6] по следующим причинам:

- средствами языка можно реализовать все необходимые алгоритмы;
- данный язык является объектно-ориентированным, что позволит структурировать программу;
- язык обладает необходимой для реализации задачи библиотекой для создания графического интерфеса пользователя *PyQt6* [7];
- язык обладает библиотекой для визуализации данных *Matplotlib* [5].

#### 3.2 Структура программы

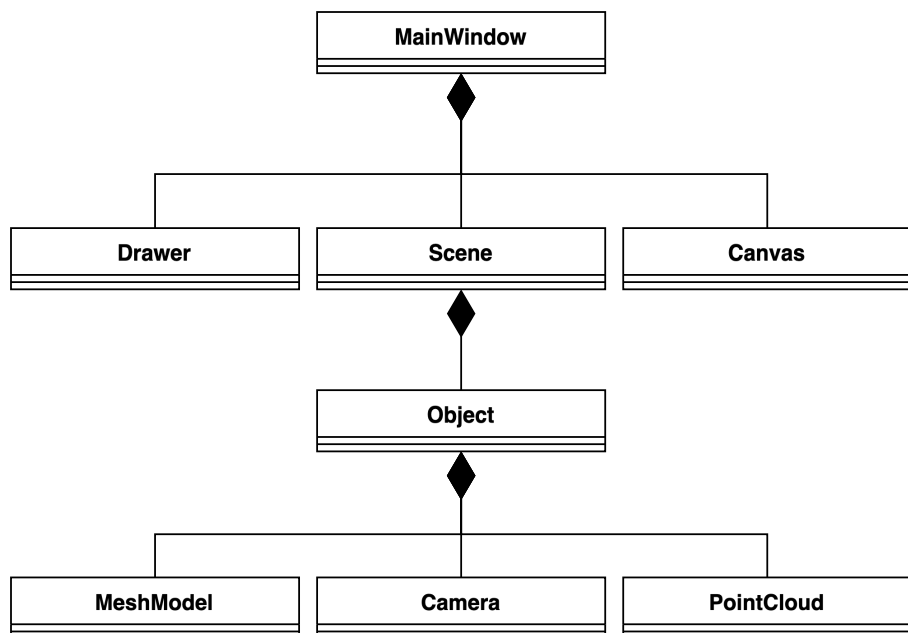


Рисунок 3.1 — Диаграмма классов разработанного ПО

### 3.3 Детали реализации

В листингах 3.1-3.4 представлена реализация алгоритма трассировки лучей.

Листинг 3.1 — Реализация алгоритма трассировки лучей

```
def ray_tracing(c_buffer, d_buffer, height, width, camera, objs):
    center, h_dir, v_dir, h_fov, v_fov, min_z, max_z = camera
    rays = comp_rays(height, width, h_dir, v_dir, h_fov, v_fov)
    for i in range(height):
        for j in range(width):
            min_d = max_z
            res_color = None
            for k in range(len(objs)):
                points, triangles = objs[k]
                b, d, color = intersect_obj((center, rays[i][j]), points,
                                              triangles, max_z)
                if b and d < min_d and min_z < d < max_z:
                    min_d = d
                    res_color = color
            if res_color is not None:
                c_buffer[i][j] = res_color
                d_buffer[i][j] = min_d
    return c_buffer, d_buffer, rays
```

Листинг 3.2 — Реализация алгоритма вычисления лучей

```
def comp_rays(height, width, h_dir, v_dir, h_fov, v_fov):
    z = np.cross(h_dir, v_dir)
    z /= np.linalg.norm(z, ord=2)
    h = 2 * tan(pi * h_fov / 360) / width
    v = 2 * tan(pi * v_fov / 360) / height
    rays = np.zeros((height, width, 3))
    for i in range(height):
        for j in range(width):
            res = (j + 0.5 - width / 2) * h * h_dir + (i + 0.5 - height
                                                          / 2) * v * v_dir + z
            res /= np.linalg.norm(res, ord=2)
            rays[i][j] = res
    return rays
```

Листинг 3.3 — Реализация алгоритма определения пересечения луча с треугольником

```
def intersect_triangle(ray, v0, v1, v2):
    v0, v1, v2 = v0[:3], v1[:3], v2[:3]
    origin, direction = ray
    origin = origin[:3]
    edge1, edge2 = v1 - v0, v2 - v0

    pvec = np.cross(direction, edge2)
    det = np.dot(edge1, pvec)
    if -EPSILON < det < EPSILON:
        return -1, None

    inv_det = 1.0 / det

    tvec = origin - v0
    u = np.dot(tvec, pvec) * inv_det
    if u < -EPSILON or u > 1.0 + EPSILON:
        return -1, None

    qvec = np.cross(tvec, edge1)
    v = np.dot(direction, qvec) * inv_det

    if v < -EPSILON or u + v > 1.0 + EPSILON:
        return -1, None

    t = np.dot(edge2, qvec) * inv_det
    if t < 0.0:
        return -1, None
    if u < EPSILON or v < EPSILON or u + v > 1.0 - EPSILON:
        return t, np.array([0, 0, 255], dtype=np.uint8)
    return t, np.array([255, 255, 255], dtype=np.uint8)
```

Листинг 3.4 — Реализация алгоритма трассировки лучей для выбранных пикселей

```
def ray_tracing_seq(c_buffer, d_buffer, height, width, camera,
    objs, ray_ids):
    center, h_dir, v_dir, h_fov, v_fov, min_z, max_z = camera
    rays = comp_rays_seq(height, width, h_dir, v_dir, h_fov, v_fov,
        ray_ids)
    for i in range(len(ray_ids)):
        min_d = max_z
        res_color = None
        for k in range(len(objs)):
            points, triangles = objs[k]
            b, d, color = intersect_obj((center, rays[i]), points,
                triangles, max_z)
            if b and d < min_d and min_z < d < max_z:
                min_d = d
                res_color = color
        if res_color is not None:
            c_buffer[ray_ids[i]] = res_color
            d_buffer[ray_ids[i]] = min_d
    return c_buffer, d_buffer, rays
```

### 3.4 Интерфейс программы

Интерфейс программы представлен на рисунках 3.2-3.5. На рисунке 3.2 представлено окно программы. Слева находится окно для визуализации сцены камерой. Справа находятся разделы меню программы: «Объекты», «Сканирование», «Облака точек». Движение камеры происходит при помощи клавиш клавиатуры: «W», «A», «S», «D». Вращение камеры происходит при помощи стрелок клавиатуры: вверх, влево, вниз, вправо.

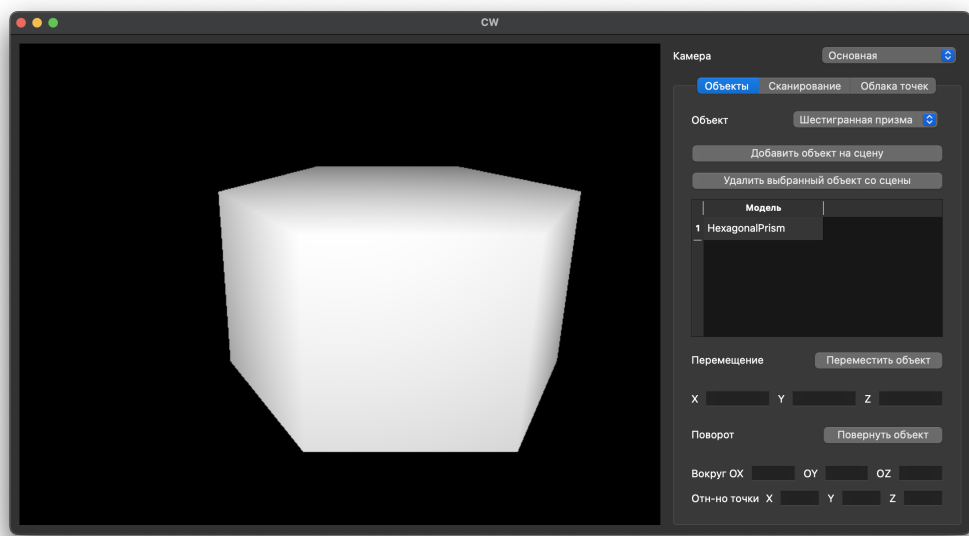


Рисунок 3.2 — Интерфейс программы

На рисунке 3.3 представлен раздел меню объектов. В нем задаются объекты сцены. Кнопка «Добавить объект на сцену» добавляет объект из выпадающего списка выше на сцену. Кнопка «Удалить объект со сцены» удаляет модели выбранные в таблице. Кнопка «Переместить объект» сдвигает объект на расстояния указанные в полях ниже. Кнопка «Повернуть объект» поворачивает объект вокруг осей на углы указанные в полях ниже и относительно точки, координаты которой указаны в полях ниже.

На рисунке 3.4 представлен раздел меню сканирования. В нем задаются паттерн сканирования, его параметр и сценарий сканирования. Выпадающее меню «Паттерн» позволяет выбрать шаблон сканирования, ниже находится поле параметра, в котором задаются, к примеру, число линий или интервал сканирования. Кнопка «Применить» обновляет значение параметра в программе. Кнопка «Сканировать» создает облако точек на основе текущего положения и направле-

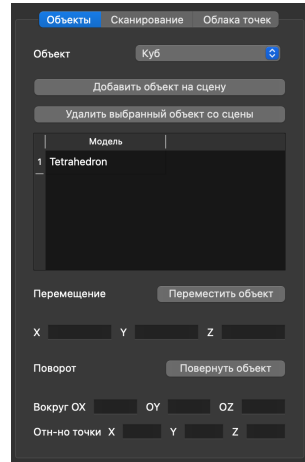


Рисунок 3.3 — Интерфейс программы, раздел объектов

ния основной камеры и выбранного паттерна сканирования. Кнопка «Добавить действие в сценарий» добавляет точку сценария на основе информации, указанной выше. Кнопка «Удалить выбранное действие из сценария» удаляет точки выбранные в таблице. Кнопка «Выполнить сценарий» производит сканирование сцены согласно сценарию.

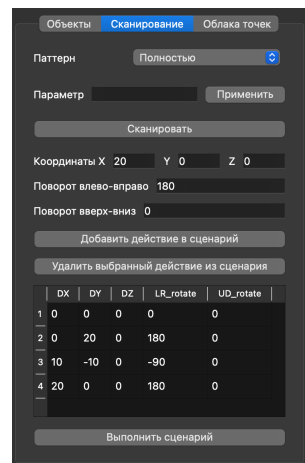


Рисунок 3.4 — Интерфейс программы, раздел сканирования

На рисунке 3.5 представлен раздел меню облаков точек. В нем находится таблица облаков точек. Кнопка «Удалить выбранное облако точек» удаляет облака точек выбранные в таблице.

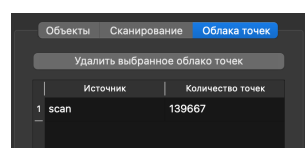


Рисунок 3.5 — Интерфейс программы, раздел облаков точек

### 3.5 Демонстрация работы

На рисунках 3.6-3.7 представлена демонстрация работы программы.

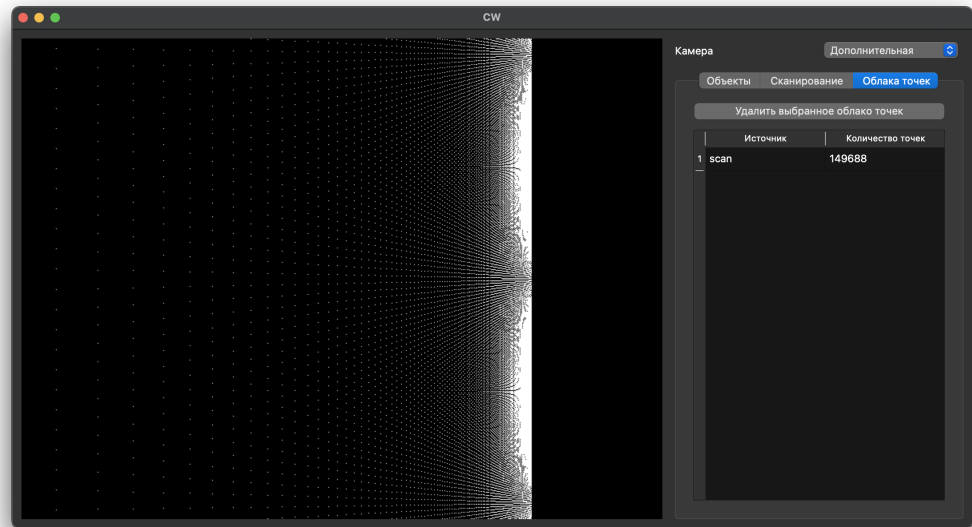


Рисунок 3.6 — Пример работы программы — облако точек грани куба вблизи

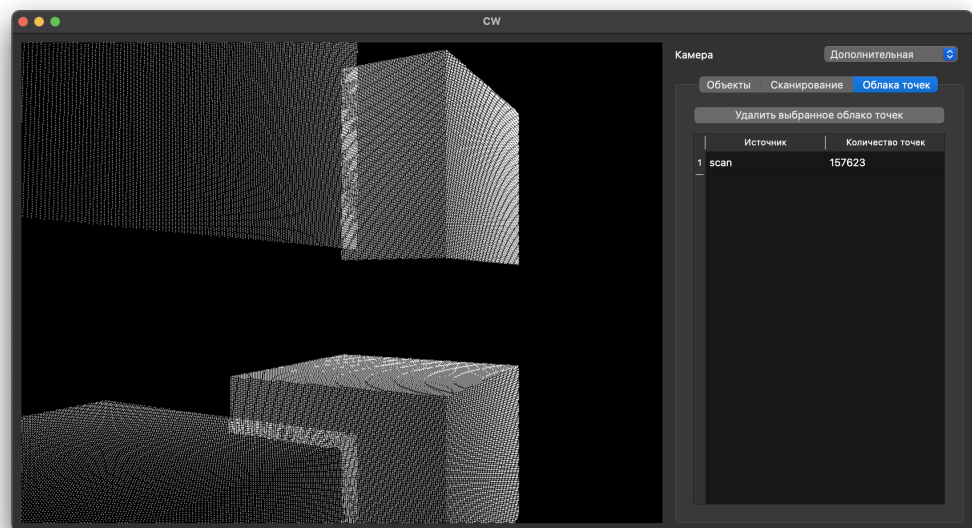


Рисунок 3.7 — Пример работы программы — облако точек четырех кубов

## **4 Исследовательский раздел**

### **4.1 Технические характеристики**

Технические характеристики устройства, на котором выполнялось тестирование:

- операционная система — macOS Sonoma 14.1 (23B2073);
- процессор — Apple M3 [4];
- оперативная память — 16 Гб.

Замеры проводились на ноутбуке, включенном в сеть питания, нагруженным процессами операционной системы, приложениями окружения и замеряемой программой.

### **4.2 Описание исследования**

В ходе исследования необходимо проанализировать зависимость времени генерации кадра размером  $800 \times 600$  от расстояния от камеры до объекта. На сцене содержится только один, заданный исследованием объект. Расстояние от камеры до объекта означает расстояние между точкой центра камеры и средней точкой всех точек объекта (центром масс объекта).

Исследование проводилось на следующих объектах:

- куб (12 треугольников);
- квадратная правильная пирамида (8 треугольников);
- треугольная правильная пирамида (тетраэдр) (4 треугольника);
- шестиугольная правильная призма (20 треугольников).

Результаты измерений для различных объектов представлены в таблицах 4.1-4.4.

На рисунке 4.1 представлен графики зависимости времени построения кадра от расстояния камеры до объекта.

## **Вывод**

Исследование показало:

- время построения кадра уменьшается при удалении объекта от камеры;
- время построения кадра увеличивается при увеличении числа треугольников, из которых состоит объект.

Таблица 4.1 — Результаты измерений времени построения одного кадра в зависимости от расстояния до куба

<b>Расстояние до объекта</b>	<b>Время построения одного кадра в миллисекундах</b>
4	792.751
5	593.561
6	385.714
7	269.575
8	201.955
9	160.791
10	154.974
11	139.017
12	124.865
13	113.250
14	92.610
15	83.913
16	93.297
17	81.428
18	82.049
19	71.318
20	68.965

Таблица 4.2 — Результаты измерений времени построения одного кадра в зависимости от расстояния до квадратной пирамиды

<b>Расстояние до объекта</b>	<b>Время построения одного кадра в миллисекундах</b>
4	327.318
5	240.370
6	161.174
7	140.256
8	118.707
9	102.096
10	93.984
11	85.103
12	82.478
13	73.347
14	71.728
15	69.722
16	63.068
17	51.587
18	62.824
19	64.616
20	62.851

Таблица 4.3 — Результаты измерений времени построения одного кадра в зависимости от расстояния до тетраэдра

<b>Расстояние до объекта</b>	<b>Время построения одного кадра в миллисекундах</b>
4	193.817
5	145.702
6	133.799
7	112.043
8	98.981
9	89.180
10	81.717
11	76.380
12	71.771
13	69.786
14	67.180
15	63.685
16	64.003
17	63.105
18	61.160
19	56.520
20	57.133

Таблица 4.4 — Результаты измерений времени построения одного кадра в зависимости от расстояния до шестиугольной призмы

<b>Расстояние до объекта</b>	<b>Время построения одного кадра в миллисекундах</b>
4	1353.018
5	1362.413
6	1341.379
7	1091.668
8	852.148
9	641.851
10	491.618
11	391.221
12	322.493
13	274.486
14	237.936
15	211.138
16	185.139
17	171.488
18	141.959
19	146.449
20	132.270

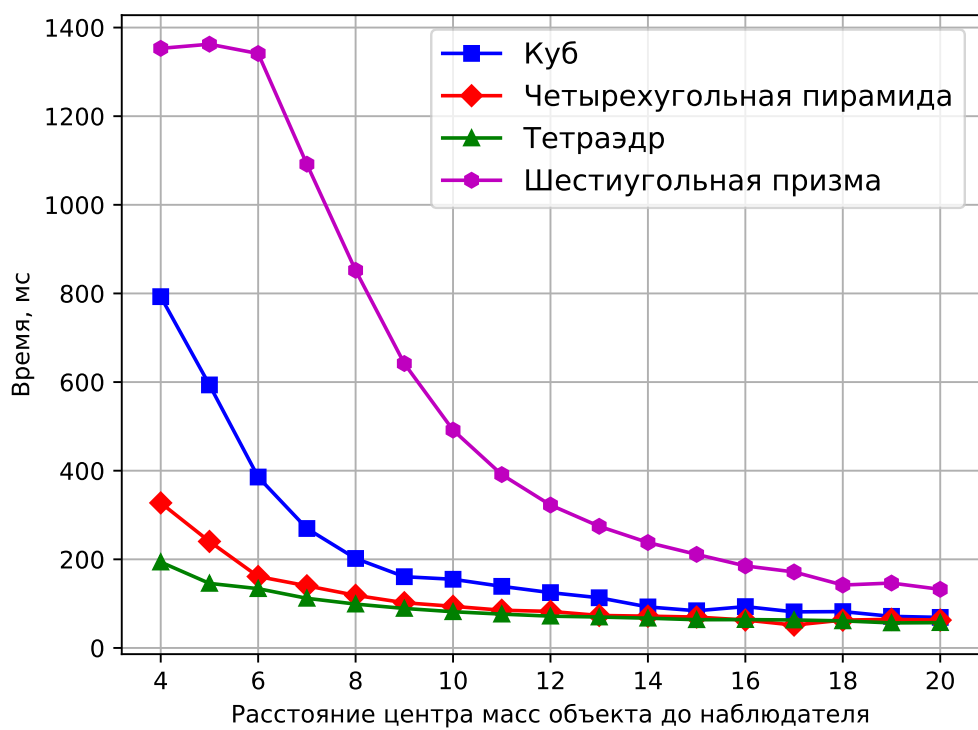


Рисунок 4.1 — Графики зависимости времени построения кадра от расстояния камеры до объекта

# **ЗАКЛЮЧЕНИЕ**

В ходе выполнения курсовой работы поставленная цель была достигнута: разработка программного обеспечения для симуляции LiDAR и построение 3D-карты сцены.

Были выполнены следующие задачи:

- описаны объекты и выбрать модель их представления;
- изучены и провести анализ существующих алгоритмов компьютерной графики;
- выбраны наиболее подходящие алгоритмы для реализации программы;
- спроектировано программное обеспечение, предоставляющее пользователю необходимые функции;
- реализовано спроектированное программное обеспечение;
- проведен сравнительный анализ.

# **СПИСОК ИСПОЛЬЗОВАННЫХ ИСТОЧНИКОВ**

1. Роджерс Д. «Алгоритмические основы машинной графики». Москва – «Мир»: Редакция литературы по математическим наукам, 1989, С. 504.
2. Шикин Е., Боресков А. «КОМПЬЮТЕРНАЯ ГРАФИКА. Полигональные модели». – «ДИАЛОГ-МИФИ», 2001. – С. 464.
3. Соломенцева С. Б. «3D-моделирование и визуализация: учебно-методическое пособие». — Елец, 2019. — С. 80.
4. Технические характеристики MacBook Pro [Электронный ресурс]. Режим доступа: <https://support.apple.com/en-by/117736> (дата обращения 11.12.24)
5. Документация библиотеки Matplotlib [Электронный ресурс]. Режим доступа: <https://matplotlib.org/> (дата обращения 13.10.24)
6. Документация языка Python [Электронный ресурс]. Режим доступа: <https://docs.python.org/3/> (дата обращения 20.11.24)
7. Документация библиотеки PyQt6 [Электронный ресурс]. Режим доступа: <https://doc.qt.io/qtforpython-6/> (дата обращения 20.11.24)

## **Приложение А**

Презентация состоит из 13 слайдов.